

一类时滞系统 Hurwitz 稳定的简单判据*

李俊余¹ 王在华^{1,2}

(1. 南京航空航天大学振动工程研究所, 南京 210016) (2. 解放军理工大学理学院应用数理系, 南京 211101)

摘要 近年来, Lambert W 函数已被成功的应用到时滞系统的稳定性分析中. 但由于 Lambert W 函数是一个超越方程的解, 而且它的求解需要借助数学软件 Maple, Matlab 或 Mathematica 才能完成, 因此在理解和应用上都有一定困难. 本文通过深入研究, 首先利用初等函数描述了 Lambert W 函数根的分布情况, 进而给出了一类时滞系统渐近稳定和鲁棒稳定的简单判据. 利用新的判据, 原来可以用 Lambert W 函数来判定的时滞系统的稳定性问题, 现在只需要用初等函数就可以解决.

关键词 Lambert W 函数, 稳定性, 时滞系统, 鲁棒稳定性

引言

近几十年来, 对时滞系统的研究取得了许多重要进展^[1-5]. 一方面, 由于能量传输或者信号传递和测量都需要时间, 所以时滞系统在许多领域普遍存在^[5-7, 11]; 另一方面, 时滞反馈控制在控制不稳定的平衡点, 混沌, 同步等有着广泛的应用^[6-8]. 分析表明, 时滞常常使系统品质变差, 使系统失稳, 并且一阶时滞系统都可以发生分岔而导致混沌等复杂的动力学现象^[9, 10]. 因此, 稳定性分析是研究时滞系统的基础问题之一. 在实际应用中, 还常常要求在所有可能的参数组合下, 系统稳定性是鲁棒的.

稳定性分析方法主要有两类. 一类是 Lyapunov 函数(或 Lyapunov 泛函)法, 包括线性矩阵不等式方法(LMI). 这类方法应用很普遍^[4], 但它给出的结果往往比较保守. 另一类方法是特征根分析法, 常常可以得到比较精细的结果^{[3-5][12-15]}, 它主要包括两种研究思路, 一种是基于凸方法的概念和边界定理^[12, 13], 另一种是基于频率反应图示和零点分离原则的图示法^[14, 15]. 前一种方法随着边界数目的增加计算的复杂性也随之增加, 后一种比较直观, 却很难用来判定鲁棒稳定性.

最近, 人们将 Lambert W 函数成功地应用于一些特殊时滞系统的稳定性分析中, 使系统的特征根可以由方程的系数来表示^[16-18]. 为了说明这一点,

我们不妨在复数域中考虑具有单个时滞的线性微分方程:

$$\dot{Z} = AZ(t) + BZ(t - \tau), (\tau > 0, A, B \in \mathbb{C}^{n \times n}) \quad (1)$$

其中 A, B 可同时被三角化, 即存在可逆矩阵 $S \in \mathbb{C}^{n \times n}$ 和上(下)三角矩阵 T_A, T_B 使得

$$A = S^{-1}T_A S, \quad B = S^{-1}T_B S$$

系统平凡解 $Z=0$ 渐近稳定当且仅当下面的特征方程所有的根具有负实部

$$\det(\lambda I - A - B e^{-\lambda \tau}) = \prod_{j=1}^n (\lambda - t_{jj}^A - t_{jj}^B e^{-\lambda \tau})$$

其中 $t_{jj}^A, t_{jj}^B (j=1, 2, \dots, n)$ 分别是 T_A, T_B 对角线上的元素. 实际问题中, 很多系统的特征方程具有这种形式^[19-22].

由于方程(1)的特征方程由多个形如 $\Delta(\lambda)$

$$\Delta(\lambda) := \lambda - p - q e^{-\lambda \tau}, (\tau > 0, p, q \in \mathbb{C})$$

的因式相乘得到, 所以要判定系统(1)平凡解的稳定性, 只需分析 $\Delta(\lambda)$ 的根的分布即可.

Lambert W 函数定义为超越方程 $W e^W = z$ 的解, 这样特征根可显式表示为

$$\lambda = \frac{1}{\tau} W(\tau q e^{-p \tau}) + p.$$

尽管常用的数学软件都可以直接计算 Lambert W 函数的值, 但是 Lambert W 函数是超越方程的解, 这使得不熟悉 Lambert W 函数的读者理解起来比较困难. 本文的目的是通过深入研究 Lambert W

2008-10-28 收到第1稿, 2008-12-10 收到修改稿.

* 国家杰出青年科学基金(10825207)、国家自然科学基金重点项目(10532050)和全国优秀博士学位论文作者专项基金项目资助

函数来建立易于理解的渐近稳定性和鲁棒稳定性判据.

本文的主要内容由三部分组成. 在下一节, 我们将简单介绍 Lambert W 函数, 并给出一个重要的引理. 在第二节中, 基于初等函数的 $\Delta(\lambda)$ 渐近稳定和鲁棒稳定的新判据将被给出, 并通过一个例子说明新判据的简单有效性. 最后是本文的总结.

1 Lambert W 函数根的分布

我们把满足 $W(z)e^{W(z)}$ 的函数称为 Lambert W 函数, 这里 $W: \mathbb{C} \rightarrow \mathbb{C}$, W 将 z 平面映射到 w 平面, 即, $w = W(z)$.

Lambert W 函数是一个多值函数, 它有无穷多个分支, 我们通常把它的分支记为 $W_k (k = 0, \pm 1, \pm 2 \dots)$, 每一个 $W_k (k = 0, \pm 1, \pm 2 \dots)$ 又都是一个单值函数. 各分支所在的区域可参见图 1. $W_0(z)$ 常被称为主支, 它包含了实轴 $[-1, +\infty)$, 并且当 $z \in [-e^{-1}, +\infty)$ 时为实数. 图 2 与图 3 给出了 $W_0(z)$ 由 z 平面到 w 平面的映射, 其中黑线代表 $+\pi$, 虚线代表 $-\pi$, 浅色的实线代表虚轴. Lambert W 函数的更多性质和应用可参考文献 [16 - 18, 23].

在稳定性分析中, 下面的 Lambert W 函数各分支实部之间的关系非常重要 [16]. 对于任意地 $z \in \mathbb{C}$, 有

$$\max_{k=0, \pm 1, \pm 2 \dots} \operatorname{Re}(W_k(z)) = \operatorname{Re}(W_0(z)) \quad (2)$$

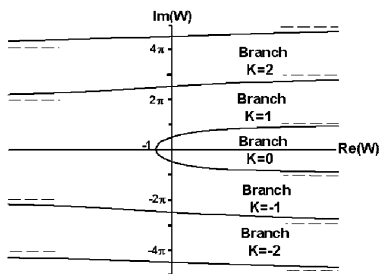


图 1 Lambert W 函数各个分支的所在区域

Fig. 1 The ranges of the branches of Lambert W function

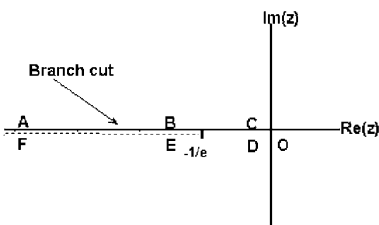


图 2 $W_0(z)$ 映射中的 z 平面

Fig. 2 The branch cut for $W_0(z)$ in z plane

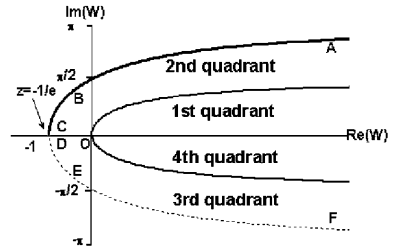


图 3 $W_0(z)$ 将 z 平面映射到 w 平面

Fig. 3 The mapping of $W_0(z)$ from z plane to w plane

由上面的结论, $\Delta(\lambda)$ Hurwitz 稳定当且仅当 $W_0^R(\tau q e^{-p\tau}) < -\tau p^R$, 其中, $W_0^R(z)$ 和 p^R 分别表示 $W_0(z)$ 和 p 的实部. 因此, 要分析方程 (1) 的稳定性, 只需获得 $W_0^R(z) < \xi_0 (\xi_0 \in \mathbb{R}, z \in \mathbb{C})$ 的精确区域即可.

现在取 $z = re^{i\theta}, r \geq 0, \theta \in (-\pi, \pi]$, $w = \xi + i\eta$, 并假定 $r = 0$ 时 $\theta = 0$ (如不做特别说明, 后文中 z 与 w 均这样表示), 则有下列的引理成立

引理 1 对固定的 $\xi_0 \in \mathbb{R}, W_0^R(z) < \xi_0$ 当且仅当 $\xi_0 \in (-1, +\infty)$, 且

- 1) $r < \xi_0 e^{\xi_0}$ 成立; 或
- 2) $r \geq |\xi_0| e^{\xi_0}$ 和 $|\theta| > \phi(r, \xi_0)$ 同时成立.

$$\text{这里 } \phi(r, \xi) = \arccos(\xi e^{\xi} r^{-1}) + \sqrt{r^2 e^{-2\xi} - \xi^2}.$$

引理 1 的证明将在附录中给出.

当 $\xi_0 = 0$ 时, 会有下面的推论:

推论 1 $W_0^R(z) < 0$ 当且仅当 $|\theta| > r + \pi/2$.

由引理 1, 容易给出由 $W_0^R(z) < \xi_0$ 确定的 $r - \theta$ 平面上的区域. 若取 $z = re^{i\theta} = x + iy$, 则还可以得到其在 $x - y$ 平面上的区域. 图 4 与图 5 分别表示在 $r - \theta$ 和 $x - y$ 平面上由 $W_0^R(z) < 2, W_0^R(z) < 0, W_0^R(z) < -0.5$ 确定的区域.

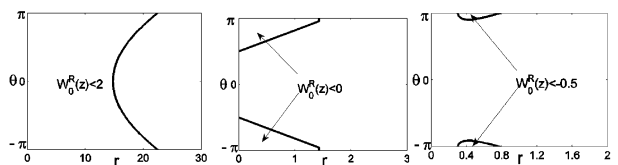


图 4 $W_0^R(z) < 2, W_0^R(z) < 0, W_0^R(z) < -0.5$ 在 $r - \theta$

平面上的区域 ($z = re^{i\theta}$)

Fig. 4 The domains of $W_0^R(z) < 2, W_0^R(z) < 0, W_0^R(z) < -0.5$

in $r - \theta$ plane for $z = re^{i\theta}$

类似地, 可以得到 $W_k^R(z) < \xi_0, (k = 0, \pm 1, \pm 2 \dots)$ 的条件: 对固定的 $\xi_0 \in \mathbb{R}$.

- (1) 当 $k = 1, 2, \dots$ 时, $W_k^R(z) < \xi_0$ 当且仅当 $r \leq |\xi_0|$

e^{ξ_0} 成立, 或 $r > |\xi_0| e^{\xi_0}$ 和 $\theta > \phi(r, \xi_0) - 2k\pi$ 同时成立.

(2) 当 $k = -1, -2, \dots$ 时, $W_k^R(z) < \xi_0$ 当且仅当 $r < |\xi_0| e^{\xi_0}$, 或 $r \geq |\xi_0| e^{\xi_0}$ 和 $\theta < -\phi(r, \xi_0) - 2k\pi$ 同时成立.

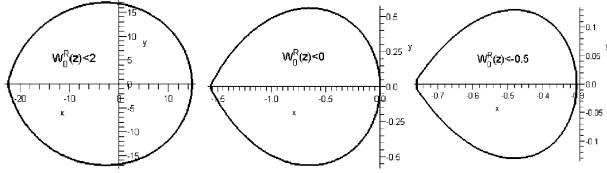


图5 $W_0^R(z) < 2, W_0^R(z) < 0, W_0^R(z) < -0.5$ 在 $x-y$ 平面上的区域 ($z = x + iy$)

Fig. 5 The domains of $W_0^R(z) < 2, W_0^R(z) < 0, W_0^R(z) < -0.5$ in $x-y$ plane for $z = x + iy$

图6给出了 $w = W(z)$ 在 $r-\theta$ 平面不同区域内, 分别当 $W^R(z) > 0, W^R(z) > -0.5, W^R(z) > 2$ 时根的个数.

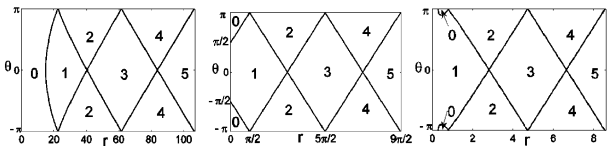


图6 $w = W(z)$ 在 $r-\theta$ 平面不同区域内分别当 $W^R(z) > 0, W^R(z) > -0.5, W^R(z) > 2$ 时的根的个数

Fig. 6 The numbers of roots of $w = W(z)$ with $W^R(z) > 0, W^R(z) > -0.5, W^R(z) > 2$ respectively in $r-\theta$ plane

注1: 直接应用 $W_k^R(z) < \xi_0$ 的条件可以得到 $s = Ae^{-W(A/\alpha)}$ 在 $A-\alpha$ 平面内根的分布情况, 其结果与文献[22]中利用 D -划分法得到的结果一致.

2 新的稳定性判据

2.1 渐近稳定性

作为引理1的一个应用, 我们有

定理1 在 $\Delta(\lambda)$ 中记 $p = p^R + ip^I, q = q^r e^{iq^\theta}, q^r \geq 0, \vartheta = q^\theta - \tau p^I + 2m\pi, m \in \mathbb{Z}$ 满足 $\vartheta \in (-\pi, \pi]$, 则 $\Delta(\lambda)$ Hurwitz 稳定当且仅当 $-p^R \tau \in (-1, +\infty)$, 且

- (1) $q^r < -p^R$ 成立; 或
- (2) 同时有 $q^r \geq |p^R|$ 和 $|\vartheta| > \Theta(p^R, q^r)$ 成立.

这里 $\Theta(p^R, q^r) = \arccos(-p^R/q^r) + \tau \sqrt{(q^r)^2 - (p^R)^2}$.

证明: 由方程(2), $\Delta(\lambda)$ Hurwitz 稳定当且仅当

$$W^R(z) = W_0^R(r, \theta) = W_0^R(\tau q^r e^{-\tau p^R}, \vartheta) < 0.$$

由引理1, 命题得证.

注2: 一些文献中提出的稳定性判据是定理1的推论. 如方程(1)中, 当 $A = 0$ 时, 平凡解 $Z = 0$ 渐近稳定当且仅当对所有的 $j = 1, 2, \dots, n$, 满足 $t_{jj}^B \tau \in \{z \mid |\theta| > r + \pi/2, z = re^{i\theta}, r > 0, \theta \in (-\pi, \pi)\}$ 这和文献[24]在 $B \in \mathbb{R}^{n \times n}$ 时得到的结果相同. 另外, 定理1还可将 Hayes 定理^[25] 由实数域推广到复数域.

2.2 鲁棒稳定性

在实际工程中存在着各种不确定性, 其中一类不确定性在用数学模型描述时, 可描述为系统参数在一些确定的区间内变化, 也就是所谓的区间系统^[26], 研究这类系统的鲁棒稳定性具有重要的实际意义.

下面来分析拟多项式 $\Delta(\lambda)$ 的鲁棒稳定性, 设 $p \in \Omega^p := \{p^R + ip^I \mid p^R \in [p^R, \bar{p}^R], p^I \in [p^I, \bar{p}^I]\}$
 $q \in \Omega^q := \{q^r e^{iq^\theta} \mid q^r \in [q^r, \bar{q}^r], q^\theta \in [q^\theta, \bar{q}^\theta]\}$

其中, $p = p^R + ip^I, q = q^r e^{iq^\theta}, p^R \leq \bar{p}^R, p^I \leq \bar{p}^I, 0 \leq q^r \leq \bar{q}^r, q^\theta \leq \bar{q}^\theta$. 用 C^{pq} 表示 C_z^{pq} 的辐角, 这里 $C_z^{pq} := \{z \mid p^I \in [p^I, \bar{p}^I], q^\theta \in [q^\theta, \bar{q}^\theta], z = \tau q e^{-p^R \tau}\}$. Shinozaki 和 Mori 给出了下面的结论^[16]

引理2 记 $\Lambda(p, q) := W_0^R(\tau q e^{-p^R}) / \tau + p^R$, 则对所有的 $p \in \Omega^p, q \in \Omega^q, \Delta(\lambda)$ 鲁棒稳定当且仅当

- (I) 若 C^{pq} 穿过正实轴, $\max\{\Lambda(\bar{p}^R, q^r), \Lambda(\bar{p}^R, \bar{q}^r)\} < 0$;
- (II) 若 C^{pq} 不穿过正实轴, $\max\{\Lambda(\bar{p}^R + ip^I, q^r e^{iq^\theta}), \Lambda(\bar{p}^R + ip^I, \bar{q}^r e^{iq^\theta}), \Lambda(\bar{p}^R + ip^I, q^r e^{iq^\theta}), \Lambda(\bar{p}^R + ip^I, \bar{q}^r e^{iq^\theta})\} < 0$.

需要指出的是, 引理2中的条件(I)可以替换为 $\Lambda(\bar{p}^R, \bar{q}^r) < 0$. 事实上, 由推论1,

$$W_0^R(z) = W_0^R(r, \theta) = W_0^R(\tau q^r e^{-\tau p^R}, 0) > 0,$$

再由附录中引理1的证明可知, $W_0^R(\tau q^r e^{-\tau p^R}, 0)$ 关于 q^r 单调递增. 因此, 根据 $\Lambda(p^R, q^r)$ 的定义, 有 $\max\{\Lambda(\bar{p}^R + q^r), \Lambda(\bar{p}^R + \bar{q}^r)\} = \Lambda(\bar{p}^R + \bar{q}^r)$

(3)

为了将引理2中的稳定性条件用初等函数来表示, 取 $\vartheta = q^\theta - \tau p^I + 2m\pi, \bar{\vartheta} = \bar{q}^\theta - \tau p^I + 2n\pi$, 这里 $m, n \in \mathbb{Z}$ 满足 $\vartheta, \bar{\vartheta} \in (-\pi, \pi]$. 直接由定理1和引理2可以得到鲁棒 Hurwitz 稳定性的新判据

定理2 对所有的 $p \in \Omega^p, q \in \Omega^q, \Delta(\lambda)$ 鲁棒稳

定当且仅当且 $-\bar{p}^R \tau \in (-1, +\infty)$

(I) 当 C^{pq} 穿过正实轴, 有 $\bar{q}^r < -\bar{p}^R$ 成立;

(II) 当 C^{pq} 不穿过正实轴, 下面的条件之一成立

$$1) \bar{q}^r < -\bar{p}^R;$$

$$2) \bar{q}^r < -\bar{p}^R, \bar{q}^r \geq |\bar{p}^R|, \min\{|\underline{\vartheta}|, |\bar{\vartheta}|\} > \Theta(\bar{p}^R, \bar{q}^r);$$

$$3) \bar{q}^r \geq |\bar{p}^R|, \min\{|\underline{\vartheta}|, |\bar{\vartheta}|\} > \max\{\Theta(\bar{p}^R, \bar{q}^r), \Theta(\bar{p}^R, \bar{q}^r)\}$$

证明:(I) C^{pq} 穿过正实轴.

由定理 1, 引理 2 及方程(3), 此时 $\Delta(\lambda)$ 鲁棒稳定当且仅当 $\Lambda(\bar{p}^R, \bar{q}^r) = W_0^R(\tau \bar{q}^r e^{-\tau \bar{p}^R}) < -\bar{p}^R \tau$, 即 $\bar{q}^r < -\bar{p}^R$.

(II) C^{pq} 不穿过正实轴.

记:

$$\Lambda_1 := \Lambda(\bar{p}^R + i\bar{p}^I, \bar{q}^r e^{i\bar{q}^I \theta}), \Lambda_2 := \Lambda(\bar{p}^R + i\bar{p}^I, \bar{q}^r e^{i\bar{q}^I \theta}),$$

$$\Lambda_3 := \Lambda(\bar{p}^R + i\bar{p}^I, \bar{q}^r e^{i\bar{q}^I \theta}), \Lambda_4 := \Lambda(\bar{p}^R + i\bar{p}^I, \bar{q}^r e^{i\bar{q}^I \theta}),$$

由引理 2, $\Delta(\lambda)$ 鲁棒稳定当且仅当 $\Lambda_i < 0, (i=1, 2, 3, 4)$, 下面分三种情况讨论

$$1) \bar{q}^r < -\bar{p}^R$$

显然此时有 $\bar{q}^r < -\bar{p}^R$, 由定理 1,

$$\Lambda_i < 0, (i=1, 2, 3, 4) \text{ 成立.}$$

$$2) \bar{q}^r < -\bar{p}^R \text{ 且 } \bar{q}^r \geq |\bar{p}^R|$$

$\bar{q}^r < -\bar{p}^R$ 意味着 $\Lambda_1 < 0, \Lambda_3 < 0$, 而由定理 1,

$\Lambda_2 < 0$ 和 $\Lambda_4 < 0$ 当且仅当 $|\underline{\vartheta}| > \Theta(\bar{p}^R, \bar{q}^r)$ 和 $|\bar{\vartheta}| > \Theta(\bar{p}^R, \bar{q}^r)$ 同时成立, 即

$$\min\{|\underline{\vartheta}|, |\bar{\vartheta}|\} > \Theta(\bar{p}^R, \bar{q}^r).$$

$$3) \bar{q}^r \geq |\bar{p}^R|$$

类似于上面的讨论, $\Lambda_i < 0$ 对所有的 $i=1, 2, 3, 4$ 成立当且仅当

$$\min\{|\underline{\vartheta}|, |\bar{\vartheta}|\} > \max\{\Theta(\bar{p}^R, \bar{q}^r), \Theta(\bar{p}^R, \bar{q}^r)\}.$$

证明完毕.

注 3: 定理 2 说明当 $-\bar{p}^R \tau \in (-1, +\infty)$, 且 $\bar{q}^r < -\bar{p}^R$ 时, 不论 C^{pq} 是否穿过正实轴, $\Delta(\lambda)$ 都具有鲁棒稳定性.

下面我们利用定理 2 来讨论文献[16]中的一个例子, 我们将会发现定理 2 用起来比引理 2 更方便.

例 1 利用定理 2 分析当 $p^R \in [-0.08, 0.02]$, $p^I \in [-6, -5]$, $q^r \in [0.5, 1.5]$, $q^I \in [0.8, 1.5]$ 时, $\Delta(\lambda)$ 的鲁棒稳定性.

首先 $q^r = 0.5 > 0.02 = |\bar{p}^R|$, 且当 $\tau \in (0, 0.7633]$ 时 C^{pq} 不穿过正实轴, 因此我们只需要检验定理 2 中条件 II (3) 即可. 又 $\Theta(\bar{p}^R, \bar{q}^r) = \Theta(\bar{p}^R, \bar{q}^r)$ 和 $|\underline{\vartheta}| = |\bar{\vartheta}|$ 时分别得到 $\tau = 0.02667$ 和 $\tau = 0.3618$, 下面分三种情况

(i) $\tau \in (0, 0.02667]$, 此时由条件 II (3)

$$0.8 + 5\tau > \arccos(-0.02/0.5) + \tau\sqrt{0.5^2 - 0.02^2}$$

$$\text{即 } \tau > \frac{\arccos(-0.02/0.5) - 0.8}{5 - \sqrt{0.5^2 - 0.02^2}} = 0.1802$$

这与 $\tau \in [0, 0.02667]$ 相矛盾.

(ii) $\tau \in [0.02667, 0.3618]$, 条件 II (3) 等价于

$$0.8 + 5\tau > \arccos(-0.02/1.5) + \tau\sqrt{1.5^2 - 0.02^2}$$

$$\text{即 } \tau > \frac{\arccos(-0.02/1.5) - 0.8}{5 - \sqrt{1.5^2 - 0.02^2}} = 0.2240$$

则 $\Delta(\lambda)$ 在 $\tau \in (0.2240, 0.3618]$ 上鲁棒稳定.

(iii) $\tau \in (0.3618, 0.7633]$, 条件 II (3) 等价于

$$2\pi - 1.5 - 6\tau > \arccos(-0.02/1.5) + \tau\sqrt{1.5^2 - 0.02^2}$$

$$\text{即 } \tau < \frac{-\arccos(-0.02/1.5) - 1.5 + 2\pi}{6 + \sqrt{1.5^2 - 0.02^2}} = 0.4265$$

则 $\Delta(\lambda)$ 在 $\tau \in (0.3618, 0.4265]$ 上鲁棒稳定.

综上所述, $\Delta(\lambda)$ 在 $\tau \in (0.2240, 0.4265]$ 上鲁棒稳定, 包含文献[16]中得到的 $\tau \in [0.23, 0.42]$.

3 结论

在本文中, 通过深入研究 Lambert W 函数, 对固定的实数 ξ_0 , 得到了 $W_0^R(z) < \xi_0$ 的初等函数判据. 进而针对一类时滞系统, 得到了渐近稳定性和鲁棒稳定性的简单判据. 利用新的判据, 以往可以用 Lambert W 函数判定稳定性的时滞系统, 现在只需要通过计算简单的初等函数就可以判定. 新判据包含已有的一些判据, 并期望找到更广泛的应用.

附录: 引理 1 的证明

为了证明引理 1, 先给出下面三个引理.

引理 3^[16] 用 $W_0(r, \theta)$ 表示 $W_0(re^{i\theta})$, 若 $r \geq 0, \theta \in (-\pi, \pi]$, 则 $W_0(r, \theta)$ 在 B_0 的补集 B_0^C 上解析,

其中 $B_0 := \{(r, \theta) | e^{-1} \leq r < +\infty, \theta = \pi\}$. 另外, $W_0^R(r, \theta)$ 关于 θ 在 $\theta \in (-\pi, 0]$ 上单调递增, 在 $\theta \in [0, \pi]$ 上单调递减.

引理4 Lambert W 函数在其主支上成立:

$$\theta \in (-\pi, 0) \Leftrightarrow \eta \in (-\pi, 0) \Leftrightarrow \theta - \eta \in (-\pi, 0)$$

$$\theta \in [0, \pi] \Leftrightarrow \eta \in [0, \pi] \Leftrightarrow \theta - \eta \in [0, \pi]$$

证明: 首先, W_0 所包含的区域为^[20]

$$\{(\xi, \eta) : \xi \geq -\eta \cot \eta, \eta \in [0, \pi)\}$$

$$\cup \{(\xi, \eta) : \xi > -\eta \cot \eta, \eta \in (-\pi, 0)\}$$

其中在 $\eta = 0, -\eta \cot \eta$ 取极限值 -1 . 将 $z = re^{i\theta}, w = \xi + i\eta$ 代入 $we^w = z$ 并分离实虚部, 得:

$$\begin{aligned} r \cos \theta &= e^\xi (\xi \cos \eta - \eta \sin \eta) \\ r \sin \theta &= e^\xi (\eta \cos \eta + \xi \sin \eta) \end{aligned} \quad (4)$$

用反证法. 当 $\theta \in [0, \pi]$ 时, 由(4)式得, $\eta \cos \eta \geq -\xi \sin \eta$. 而若 $\eta \in (-\pi, 0)$, 则有 $-\sin \eta > 0$, 即 $\xi \leq -\eta \cot \eta$, 这与 W_0 所包含的区域相矛盾, 从而 $\theta \in [0, \pi] \Rightarrow \eta \in [0, \pi)$. 同理 $\theta \in (-\pi, 0) \Rightarrow \eta \in (-\pi, 0)$, 进而有

$$\begin{aligned} \theta \in (-\pi, 0) &\Leftrightarrow \eta \in (-\pi, 0), \\ \theta \in [0, \pi] &\Leftrightarrow \eta \in [0, \pi). \end{aligned}$$

由方程组(4)我们还可以得到

$$\eta[\eta - re^{-\xi} \sin(\theta - \eta)] = 0$$

即, $\eta = 0$ 或

$$\sin(\theta - \eta) = \begin{cases} \eta e^\xi r^{-1}, & r \neq 0 \\ 0 & r = 0 \end{cases} \quad (5)$$

由(4)式, $\eta = 0$ 意味着 $r \sin \theta$, 即 $r = 0$ 或 $\theta = 0$ 或 $\theta = \pi$. 其中当 $\theta = 0$ 或 $\theta = \pi$ 时分别有 $\theta - \eta = 0$ 和 $\theta - \eta = \pi$; 而 $r = 0$ 意味着 $W_0(0) = 0$, 即 $\theta = \eta = 0 - \eta = 0$.

当 $\eta \neq 0, r \neq 0$ 时, 由于 $\theta - \eta \in (-\pi, \pi]$, 且 $e^\xi r^{-1} > 0$, 则由(5)式

$$\begin{aligned} \eta \in (-\pi, 0) &\Leftrightarrow \theta - \eta \in (-\pi, 0), \\ \eta \in [0, \pi) &\Leftrightarrow \theta - \eta \in [0, \pi] \end{aligned}$$

证毕!

引理5 记 η_0^* 为 $\xi_0 = -\eta \cot \eta, \eta \in (0, \pi)$ 在 $\xi_0 \in (-1, +\infty)$ 时的唯一解, 则当 $r \geq e^{\xi_0} \sqrt{\xi_0^2 + (\eta_0^*)^2}$ 时,

$$(I) \quad W_0^R(z) \geq \xi_0 \quad (II) \quad \phi(r, \xi_0) \geq \pi$$

证明: 首先由 $W_0(z)$ 在 w 平面上的区域, 当 $W_0^R(z) = \xi_0$ 时有 $-\eta_0^* < \eta_0 \leq \eta_0^*$ 成立, 即

$$|\xi_0| e^{\xi_0} \leq r \leq e^{\xi_0} \sqrt{\xi_0^2 + (\eta_0^*)^2}$$

(I) 由引理3, 对任意固定的 $r > 0, W_0^R(r, \theta) \geq \xi_0$ 当且仅当 $W_0^R(re^{i\pi}) \geq \xi_0$. 注意到当 $r = e^{\xi_0} \sqrt{\xi_0^2 + (\eta_0^*)^2}$ 时, $W_0^R(re^{i\pi}) = \xi_0$, 则如果能够证明 ξ 关于 r 在 $r \geq e^{\xi_0} \sqrt{\xi_0^2 + (\eta_0^*)^2}$ 及 $\theta = \pi$ 上单调递增, 即可证明(I). 下面我们证明之.

事实上, 由 η_0^* 的定义可得

$$\begin{aligned} r &\geq e^{\xi_0} \sqrt{\xi_0^2 + (\eta_0^*)^2} = \\ &e^{\xi_0} \sqrt{(\eta_0^*)^2 (\cot \eta_0^*)^2 + (\eta_0^*)^2} = \\ &e^{\xi_0} \frac{\eta_0^*}{\sin \eta_0^*} > e^{\xi_0} > e^{-1} \end{aligned}$$

根据 Lambert W 函数的性质, $W_0(z)$ 仅当 z 属于 $[-e^{-1}, +\infty)$ 时为实数, 由引理4, $\theta > 0$ 与 $r > e^{-1}$ 意味着 $\eta \in (0, \pi)$, 因此, 存在 $\varepsilon > 0$, 在 $\theta \in (\pi - \varepsilon, \pi)$ 上, $W_0(z)$ 解析且 $\eta > 0$, 从而

$$\text{Im}\left(\frac{dW_0(z)}{dr}\right) = \frac{\eta}{r(1+\xi)^2 + \eta^2} > 0$$

又因为 $W_0(r, \theta)$ 在 $\theta = \pi$ 处连续, 所以当 $\theta = \pi$ 时, η 关于 r 在 $r \geq e^{\xi_0} \sqrt{\xi_0^2 + (\eta_0^*)^2}$ 上单调递增.

另外, 由方程组(4), 当 $r \geq e^{-1}$ 时, $\theta = \pi$ 等价于 $\xi = -\eta \cot \eta$. 记 $\xi(\eta) := -\eta \cot \eta, \eta \in (0, \pi)$, 有

$$\xi'(\eta) = \frac{\eta - \sin \eta \cos \eta}{(\sin \eta)^2} > \frac{\eta - \sin \eta}{(\sin \eta)^2} > 0$$

即 ξ 关于 η 在 $\eta \in (0, \pi)$ 上单调递增. 进而, 当 $\theta = \pi$ 时, ξ 关于 r 在 $r \geq e^{\xi_0} \sqrt{\xi_0^2 + (\eta_0^*)^2}$ 上单调递增.

(II) 记 $\phi(r) := \phi(r, \xi_0)$, 则有

$$\begin{aligned} \phi'(r) &= \frac{r^2 + \xi_0 e^{2\xi_0}}{r e^{\xi_0} \sqrt{r^2 - \xi_0^2 e^{2\xi_0}}} > \\ &\frac{e^{2\xi_0} [\xi_0^2 + (\eta_0^*)^2] + \xi_0 e^{2\xi_0}}{r e^{\xi_0} \sqrt{r^2 - \xi_0^2 e^{2\xi_0}}} = \\ &\frac{e^{2\xi_0} \eta_0^* [\eta_0^* - \sin \eta_0^* \cos \eta_0^*]}{r e^{\xi_0} (\sin \eta_0^*)^2 \sqrt{r^2 - \xi_0^2 e^{2\xi_0}}} > \\ &\frac{e^{2\xi_0} \eta_0^* [\eta_0^* - \sin \eta_0^*]}{r e^{\xi_0} (\sin \eta_0^*)^2 \sqrt{r^2 - \xi_0^2 e^{2\xi_0}}} > 0 \end{aligned}$$

因为当 $r = e^{\xi_0} \sqrt{\xi_0^2 + (\eta_0^*)^2}$ 时, $\theta = \pi$; 由上式, 当 $r \geq e^{\xi_0} \sqrt{\xi_0^2 + (\eta_0^*)^2}$ 时, $\phi(r, \xi_0) \geq \pi$ 成立.

引理5 证毕.

下面我们开始引理1的证明.

首先, $W_0^R(z) \geq -1$ 决定了如果存在 $z \in \mathbb{C}$ 满足 $W_0^R(z) < \xi_0$, 必有 $\xi_0 \in (-1, +\infty)$. 分两种情况讨论:

$$\langle 1 \rangle \quad r < |\xi_0| e^{\xi_0}$$

$$(i) \quad r < -\xi_0 e^{\xi_0} \text{ (注意到此时 } \xi_0 \in (-1, 0) \text{)}$$

首先, $r < -\xi_0 e^{\xi_0}$ 意味着 $r \in [0, e^{-1}]$, 从而 $W_0(re^{i\pi})$ 为实数, 即 $\eta = 0$. 将 $\theta = \pi$ 与 $\eta = 0$ 代入 (4) 式得 $r = -\xi e^{\xi}$. 作为 $r = -\xi e^{\xi}$ 的反函数, ξ 在 $\theta = \pi$ 时关于 r 在 $r \in [0, e^{-1}]$ 上单调递增. 则

$$W_0^R(re^{i\pi}) > W_0^R(-\xi_0 e^{\xi_0} e^{i\pi}) = W_0^R(\xi_0 e^{\xi_0}) = \xi_0$$

进一步由引理 3, $W_0^R(re^{i\pi}) > \xi_0$ 当且仅当对任意的 $\theta \in (-\pi, \pi]$, 有 $W_0^R(re^{i\theta}) > \xi_0$.

$$(ii) \quad r < \xi_0 e^{\xi_0} \text{ (注意到此时 } \xi_0 \in (0, +\infty) \text{)}$$

首先, 若 $r = 0$, 有 $W_0^R(0) = 0 < \xi_0$. 下面取 $r \neq 0$ 且 $\theta \neq \pi$, 由 $W_0(z)$ 的解析性有

$$\operatorname{Re}\left(\frac{dW_0(z)}{dr}\right) = \frac{\xi^2 + \xi + \eta^2}{r((1 + \xi)^2 + \eta^2)}$$

由方程 (5), $\theta = 0$ 意味着 $\eta = 0$, 将 $\theta = 0$ 与 $\eta = 0$ 代入 $\cos(\theta - \eta) = \xi e^{\xi} r^{-1}$, 得到 $\xi > 0$, 从而, 当 $\theta = 0$ 时, $W_0^R(r, \theta)$ 关于 r 单调递增. 所以, $r < \xi_0 e^{\xi_0}$ 意味着 $W_0^R(r) < W_0^R(\xi_0 e^{\xi_0}) = \xi_0$. 再由引理 3, $W_0^R(r) < \xi_0$ 当且仅当对任意的 $\theta \in (-\pi, \pi]$, 有 $W_0^R(re^{i\theta}) < \xi_0$.

$$\langle 2 \rangle \quad |\xi_0| e^{\xi_0} \leq r < e^{\xi_0} \sqrt{\xi_0^2 + (\eta_0^*)^2}$$

首先由方程组 (4) 得, $\cos(\theta - \pi) = \xi e^{\xi} r^{-1}$, 则当 $\xi = \xi_0$ 时, 由引理 4 有

$$\theta = \begin{cases} \phi(r, \xi_0), & \theta \in [0, \pi] \\ -\phi(r, \xi_0), & \theta \in (-\pi, 0) \end{cases}$$

然后由引理 3, $W_0^R(z) < \xi_0$ 当且仅当 $|\theta| > \phi(r, \xi_0)$, $\theta \in (-\pi, \pi]$.

结合引理 5, 引理 1 证毕.

参 考 文 献

- 1 R Bellman, K L Cooke. *Differential Difference Equations*. Academic Press, New York, 1963
- 2 G Stepan. *Retarded Dynamical Systems; Stability and Characteristic Functions*. Essex: Longman Scientific & Technical, New York, 1989
- 3 Y Kuang. *Delay Differential Equation with Application to Population Dynamics*. Academic Press, San Diego, CA, 1993
- 4 S I Niculescu. *Delay Effects on Stability; A Robust Control Approach*. Springer - Verlag, London, 2001
- 5 H Y Hu, Z H Wang. *Dynamics of Controlled Mechanical Systems with Delayed Feedback*. Springer - Verlag, Berlin, 2002

- 6 胡海岩, 王在华. 非线性时滞动力系统的研究进展. *力学进展*, 1999, 29: 501 ~ 512 (H Y Hu and Z H Wang. Review on nonlinear dynamic systems involving time delays. *Advances in Mechanics*, 1999, 29: 501 ~ 512 (in Chinese))
- 7 徐鉴, 裴利军. 时滞系统动力学近期研究进展与展望. *力学进展*, 2006, 36: 17 ~ 30 (J Xu, L J Pei. Advances in dynamics for delayed systems. *Advances in Mechanics*, 2006, 36: 17 ~ 30 (in Chinese))
- 8 A Jnifene. Active vibration control of flexible structures using delayed position feedback. *Systems & Control Letters*, 2007, 56: 215 ~ 222
- 9 H L Wang, H Y Hu. Bifurcation analysis of a delayed dynamic system via method of multiple scales and shooting technique. *International Journal of Bifurcation and Chaos*, 2005, 15: 425 ~ 450
- 10 X Xu, H Y Hu, H L Wang. Stability, bifurcation and chaos of a delayed oscillator with negative damping and delayed feedback control. *Nonlinear Dynamics*, 2006, 49: 117 ~ 129
- 11 H Y Hu, Z Q Wu. Stability and Hopf bifurcation of four-wheel-steering vehicles involving driver's delay. *Nonlinear Dynamics*, 2000, 22: 361 ~ 374
- 12 V L Kharitonov, S I Niculescu. On the stability of linear systems with uncertain delay. *IEEE Transactions Automatic Control*, 2003, 48: 127 ~ 132
- 13 Z H Wang, H Y Hu, T Küpper. Robust Hurwitz stability test for linear systems with uncertain commensurate time delays. *IEEE Transactions Automatic Control*, 2004, 49: 1389 ~ 1393
- 14 M Fu, A W Olbrot, M P Polis. Robust stability for time-delay systems: the edge theorem and graphical tests. *IEEE Transactions Automatic Control*, 1989, 34: 813 ~ 820
- 15 S Mondie, J Santos, V L Kharitonov. Robust stability of quasi-polynomials and the finite inclusions theorem. *IEEE Transactions Automatic Control*, 2005, 50: 1826 ~ 1831
- 16 H Shinozaki, T Mori. Robust stability analysis of linear time-delay systems by Lambert W function: some extreme point results. *Automatica*, 2006, 42: 1791 ~ 1799
- 17 R M Corless, G H Gonnet, D E G Hare, D J Jeffrey, D E Knuth. On the Lambert W function. *Advances in Computational Mathematics*, 1996, 5: 329 ~ 359
- 18 E Jarlebring, K Damm. The Lambert W function and the spectrum of some multidimensional time-delay system. *Automatica*, 2007, 43: 2124 ~ 2128
- 19 C M Marcus, R M Westervelt. Stability of analog neural networks with delay. *Physical Review A*, 1989, 39: 347 ~ 359

- 20 K Ikeda. Multiple - valued stationary state and its instability of the transmitted light by a ring cavity. *Optics Communications*, 1979, 30: 257 ~ 261
- 21 R Lang K Kobayashi. External optical feedback effects on semiconductor injection laser properties. *IEEE Journal of Quantum Electron*, 1980, 16: 347 ~ 355
- 22 A E Dubinov, I D Dubinova, S K Saikov. Characteristic roots and stability domains of one dynamic delay system. *Automation and Remote Control*, 2005, 66: 1212 ~ 1213
- 23 王京祥, 王在华. 时滞状态反馈控制系统的稳定性增益区域. *动力学与控制学报*, 2008, 6(4): 301 ~ 306 (J X Wang, Z H Wang. Stable region of the feedback gains in a controlled system with delayed feedback. *Journal of Dynamics and Control*, 2008, 6(4): 301 ~ 306 (in Chinese))
- 24 T Hara, J Sugie. Stability region of differential difference equations. *Funkcialaj Ekvacioj*, 1996, 39: 69 ~ 86
- 25 N D Hayes. Roots of the transcendental equation associated with a certain difference differential equation. *Journal of London Mathematical Society*, 1950, 25: 226 ~ 232
- 26 严艳, 杨玉华, 魏晓燕, 卢占会. 带有时滞的区间动力系统的鲁棒稳定性研究. *动力学与控制学报*, 2008, 6(1): 1 ~ 4 (Y Yan, Y H Yang, X Y Wei, Z H Lu. Study on robust stability of interval system with time - delay. *Journal of Dynamics and Control*, 2008, 6(4): 1 ~ 4 (in Chinese))

SIMPLE CRITERIA FOR THE HURWITZ STABILITY OF SOME TIME - DELAY SYSTEMS *

Li Junyu¹ Wang Zaihua^{1,2}

(1. Institute of Vibration Engineering Research, Nanjing University of Aeronautics and Astronautics, Nanjing 210016, China)

(2. Institute of Science, PLA University of Science and Technology, Nanjing 211101, China)

Abstract Recently, Lambert W function has been found successful applications in stability analysis of time - delay systems. Because Lambert W function is defined as the solution of a transcendental equation, and it works only if some mathematical softwares such as Maple, Matlab or Mathematica are available, so the stability criteria based on Lambert W functions are not easy for understanding in applications. In this paper, two simple stability criteria have been derived from a careful investigation of the root location of Lambert W function, so that the stability as well as the robust stability of some time - delay systems checked by using Lambert W function can now be tested simply by calculating elementary functions.

Key words Lambert W function, stability, time - delay system, robust stability